

II-4 河川堤防の非定常浸透に関する研究

建設省関東地方建設局 准員 陣内 康雄

河川を洪水流が流下する際の堤防内の浸透現象は非定常的であるが、その解析が理論的に難解であり、また実験上にも困難な問題が存するため未解決の分野が多い。しかしこれが究明は学問的・興味のみならず、堤防断面の合理的・経済的設計など実際応用面においても重要なである。これらに關して若干の考察を行ふ。

1. 実験的基礎研究

毛管力の作用を明らかにするため、図-1の装置に砂を用いて1次元非定常浸透の実験を行い、種々の外水位上昇速度 V_0 に対する浸潤面の浸透距離 X の関係を図-2にえた。これより

$$X = C V_0^{0.7} t \quad (1)$$

一方、浸透流を巨視的にみて、これに Navier-Stokes の式を適用する。

$$\frac{D\mathbf{V}}{Dt} = -\text{grad}(gh + p_f) - \frac{\mu}{\rho} \frac{\mathbf{V}}{L^2} + \frac{\mu}{\rho} \nabla^2 \mathbf{V} \quad (2)$$

(2)式で加速度項、粘性項が小さいためこれを無視すれば、この実験の浸透運動方程式は理論的に

$$X = \sqrt{L} V_0^{0.5} t \quad (3)$$

となる。実験式(1)は理論式(3)に比して過大な値を示す。こ

れは砂に働く毛管力の強い吸引作用に起因するものと思われる。また降雨による縦浸透や毛管水によるとづく砂の初期飽和度の増加は非定常浸透係数や浸透速度を増大せしめる。要するに非定常浸透の解析的研究には複雑な影響を及ぼす毛管力とのぞくことが好ましい。

2. 非定常浸透模型実験の相似律

(2)式及び連続の式

$$\text{div } \mathbf{V} = 0 \quad (4)$$

を無次元化すれば、それそれ

$$\frac{1}{\sqrt{t}} \frac{D\mathbf{V}_r}{Dt_r} = -\text{grad}_r(g_r h_r + p_r) - \frac{\mu}{\rho L} g_r \mathbf{V}_r + \frac{1}{\rho L} \frac{\mu}{\rho} \nabla^2 \mathbf{V}_r \quad (5)$$

$$\text{div}_r \mathbf{V}_r = 0 \quad (6)$$

相似関係が成立つためには、实物と模型の両流において無次元化した(5)式と(6)式が全く等しくなければならない。いす实物の量と模型の量の比に r の添字を付して表わせば、

$$\frac{1}{\sqrt{t}} = \frac{U_r}{L_r} = \frac{V_r}{\sqrt{t_r} U_r L_r} = 1 \quad \text{ただし } U_r = \frac{U}{L} \quad (7)$$

ここで $U_r = \frac{U}{L}$ とおけば(7)式は

$$\frac{1}{\sqrt{t_r}} = \frac{U_r}{L_r U_r} = \frac{U_r T_r}{\sqrt{t_r} U_r^2 L_r^2} = 1 \quad (7')$$

(7')式が満すべき相似の必要条件となる。しかし(7)式を満足させることは技術的に難かしいため、(2)式右辺第3項の粘性項が他項に比して無視できることに着目し

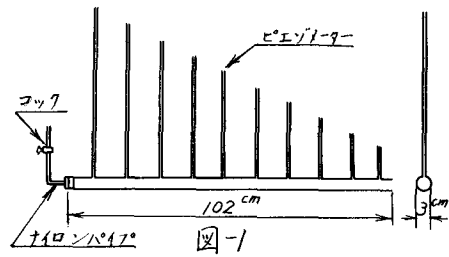


図-1

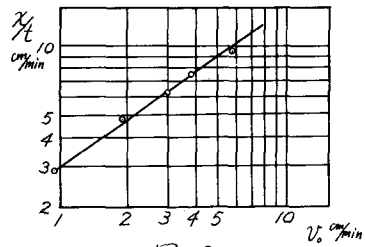


図-2

$$\frac{1}{\alpha_f} = \frac{L_f}{k_f T_f} = 1 \quad (8)$$

を近似的に得る。この式の適合性を高粘度モビール油と鋼散弾を用い、毛管力を除いて実験した結果、矩形堤はもちろん梯形断面堤においても充分の精度をもつことがわかった。

3. 非定常浸透運動の理論的考察

図-3(a)のとき矩形堤に同図-3(b)の洪水曲線を与えた場合を考える。浸透流の運動は主として上流側の水圧に支配されるから、その流れは水平成分だけであると仮定する。したがって自由境界面、すなわち $p=0$ における量を f で示すと、図-3に関する非定常浸透流の運動方程式は自由境界面で次のように表わされる。

$$\frac{df}{dt} = (\Delta h / \alpha_f) / k_f = \{h(t) - h_f\} / k_f \quad (9)$$

以下(9)式の解を外水位上昇時および下降時のそれそれに1, 2の添字を付けて求めよう。

(i) 外水位下降時

洪水曲線を三角形に近似させ、水位上昇速度を v_{01} とすれば、(9)式は

$$X_{f1} = \sqrt{k_f v_{01}} (t_1 - h_f / v_{01}) \quad (10)$$

(ii) 外水位下降時

同様に三角形の洪水曲線を考え、その最高水位を H_m 、水位下降速度を v_{02} とすれば、

$$X_{f2} = \sqrt{k_f v_{02}} \{2(H_m - h_f) t_2 - v_{02} t_2^2\} \quad (11)$$

ただし $X_{f1} = \sqrt{k_f v_{01}} (T_1 - h_f / v_{01})$

(i), (ii)両式の適合性を検証するため、2.と同じ方法によって実験した。この結果の一例を矩形堤について図-4に示す。

4. 砂模型堤による非定常浸透実験

実際の堤防は土砂で作られ堤体内の浸透流は毛管力の作用する場におかれれる。このため本節では砂模型の梯形断面堤体について飽和度や三角形洪水曲線の継続時間、水位下降時間比等を種々変化させて実験を行い、その浸透現象を観測した。図-5は乾燥砂堤における堤体底面沿いの浸透の様子を示す。

5. 堤体断面設計指針の提案

浸透水圧の面から合理的な断面を定めろには、外水位が最高水位 H_m に達してから浸潤面が裏法に到達するよう堤防敷斜 L を定めればよい。しかるに図-5に見られるように三角形で近似させた洪水曲線を梯形断面堤に与える場合、外水位上昇時ににおいては堤体底面沿いの浸透速度 v_f は一定となるから、容易に L は

$$\frac{H_m}{v_{01}} = \frac{L}{v_f} \quad \text{ただし } v_{01} \text{ は外水位上昇速度} \quad (12)$$

より得られる。もちろん水防上必要な天端幅、上の安息角等からも大きく規制される。

本研究に御指導を賜った京都大学教授村山朔郎博士、同助教授赤井浩一博士に感謝する。今お京大防災研教授矢野勝正博士、同足立昭平助教授に助言を頂いたことに感謝する。

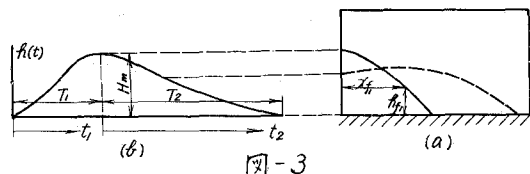


図-3

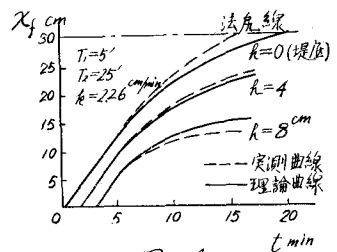


図-4

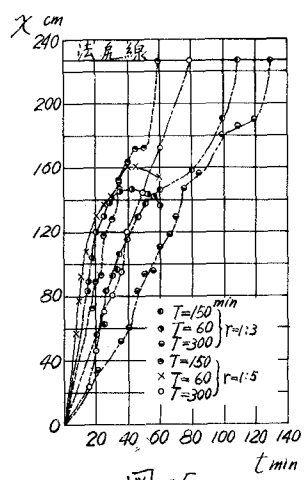


図-5